

## **ANEXO 1: FICHAS DE LAS ARPSIS**

<b>ARPSI</b>	<b>ES080-0025 – Quadro Santiago (Riu Sec, barrancos de la Parreta y Sigalero)</b>
--------------	---

<b>HIDROLOGÍA</b>	<b>Modelo utilizado</b>	<b>Caudales punta</b>																																									
	HEC-HMS (USACE)	<table border="1" style="width: 100%; text-align: center;"> <thead> <tr> <th>T (años)</th> <th>Seco (m3/s)</th> <th>Sol (m3/s)</th> <th>Sol tramo final (m3/s)</th> <th>Penya Roja (m3/s)</th> <th>Torreta (m3/s)</th> </tr> </thead> <tbody> <tr><td>10</td><td>100.6</td><td>16.5</td><td>12.6</td><td>18.2</td><td>12.9</td></tr> <tr><td>25</td><td>174.7</td><td>28.6</td><td>20.3</td><td>30.4</td><td>21.1</td></tr> <tr><td>50</td><td>245.3</td><td>39.9</td><td>27.4</td><td>41.8</td><td>28.7</td></tr> <tr><td>100</td><td>320.2</td><td>51.9</td><td>34.9</td><td>53.6</td><td>36.7</td></tr> <tr><td>500</td><td>538.3</td><td>86.7</td><td>55.9</td><td>87.7</td><td>59.3</td></tr> </tbody> </table>						T (años)	Seco (m3/s)	Sol (m3/s)	Sol tramo final (m3/s)	Penya Roja (m3/s)	Torreta (m3/s)	10	100.6	16.5	12.6	18.2	12.9	25	174.7	28.6	20.3	30.4	21.1	50	245.3	39.9	27.4	41.8	28.7	100	320.2	51.9	34.9	53.6	36.7	500	538.3	86.7	55.9	87.7	59.3
		T (años)	Seco (m3/s)	Sol (m3/s)	Sol tramo final (m3/s)	Penya Roja (m3/s)	Torreta (m3/s)																																				
		10	100.6	16.5	12.6	18.2	12.9																																				
		25	174.7	28.6	20.3	30.4	21.1																																				
		50	245.3	39.9	27.4	41.8	28.7																																				
		100	320.2	51.9	34.9	53.6	36.7																																				
		500	538.3	86.7	55.9	87.7	59.3																																				
		<table border="1" style="width: 100%; text-align: center;"> <thead> <tr> <th>T (años)</th> <th>Pedreira (m3/s)</th> <th>Palla (m3/s)</th> <th>Diable (m3/s)</th> <th>Migdia-Figueta (m3/s)</th> <th>Magdalena (m3/s)</th> </tr> </thead> <tbody> <tr><td>10</td><td>8.7</td><td>8.1</td><td>10.4</td><td>22.9</td><td>17.4</td></tr> <tr><td>25</td><td>15.4</td><td>14.5</td><td>17.8</td><td>39.8</td><td>33.3</td></tr> <tr><td>50</td><td>21.7</td><td>20.4</td><td>24.6</td><td>55.5</td><td>48.9</td></tr> <tr><td>100</td><td>28.3</td><td>26.7</td><td>31.9</td><td>72.3</td><td>65.8</td></tr> <tr><td>500</td><td>47.9</td><td>45.4</td><td>53</td><td>120.9</td><td>115.9</td></tr> </tbody> </table>						T (años)	Pedreira (m3/s)	Palla (m3/s)	Diable (m3/s)	Migdia-Figueta (m3/s)	Magdalena (m3/s)	10	8.7	8.1	10.4	22.9	17.4	25	15.4	14.5	17.8	39.8	33.3	50	21.7	20.4	24.6	55.5	48.9	100	28.3	26.7	31.9	72.3	65.8	500	47.9	45.4	53	120.9	115.9
		T (años)	Pedreira (m3/s)	Palla (m3/s)	Diable (m3/s)	Migdia-Figueta (m3/s)	Magdalena (m3/s)																																				
10		8.7	8.1	10.4	22.9	17.4																																					
25	15.4	14.5	17.8	39.8	33.3																																						
50	21.7	20.4	24.6	55.5	48.9																																						
100	28.3	26.7	31.9	72.3	65.8																																						
500	47.9	45.4	53	120.9	115.9																																						
<table border="1" style="width: 100%; text-align: center;"> <thead> <tr> <th>T (años)</th> <th>Intermedia Magdalena-Ratlla (m3/s)</th> <th>Ratlla (m3/s)</th> <th>Parreta (m3/s)</th> <th>Intermedia parreta-Sigalero (m3/s)</th> <th>Sigalero (m3/s)</th> </tr> </thead> <tbody> <tr><td>10</td><td>16.2</td><td>2.7</td><td>1.1</td><td>0.5</td><td>14.5</td></tr> <tr><td>25</td><td>27</td><td>7.4</td><td>4.8</td><td>1.6</td><td>20.1</td></tr> <tr><td>50</td><td>37</td><td>12.7</td><td>10.1</td><td>2.9</td><td>25.1</td></tr> <tr><td>100</td><td>47.4</td><td>19.1</td><td>17.1</td><td>4.5</td><td>33.2</td></tr> <tr><td>500</td><td>77.1</td><td>39.6</td><td>42.6</td><td>9.5</td><td>65.1</td></tr> </tbody> </table>						T (años)	Intermedia Magdalena-Ratlla (m3/s)	Ratlla (m3/s)	Parreta (m3/s)	Intermedia parreta-Sigalero (m3/s)	Sigalero (m3/s)	10	16.2	2.7	1.1	0.5	14.5	25	27	7.4	4.8	1.6	20.1	50	37	12.7	10.1	2.9	25.1	100	47.4	19.1	17.1	4.5	33.2	500	77.1	39.6	42.6	9.5	65.1		
T (años)	Intermedia Magdalena-Ratlla (m3/s)	Ratlla (m3/s)	Parreta (m3/s)	Intermedia parreta-Sigalero (m3/s)	Sigalero (m3/s)																																						
10	16.2	2.7	1.1	0.5	14.5																																						
25	27	7.4	4.8	1.6	20.1																																						
50	37	12.7	10.1	2.9	25.1																																						
100	47.4	19.1	17.1	4.5	33.2																																						
500	77.1	39.6	42.6	9.5	65.1																																						

<b>HIDRÁULICA</b>	<b>Modelo utilizado</b>	<b>Modelo digital del terreno</b>	<b>Elementos de la modelación</b>
	Infoworks ICM	LIDAR PNOA con supresión de obstáculos y puntos anómalos. Tamaño de celda 1x1.	Refinamientos de la malla en cauces y motas.

Líneas de rotura en márgenes de los cauces, vías y estructuras.  
Manzanas introducidas como islas y edificios como huecos.  
Obras de drenaje y puentes (topografía clásica en campo)

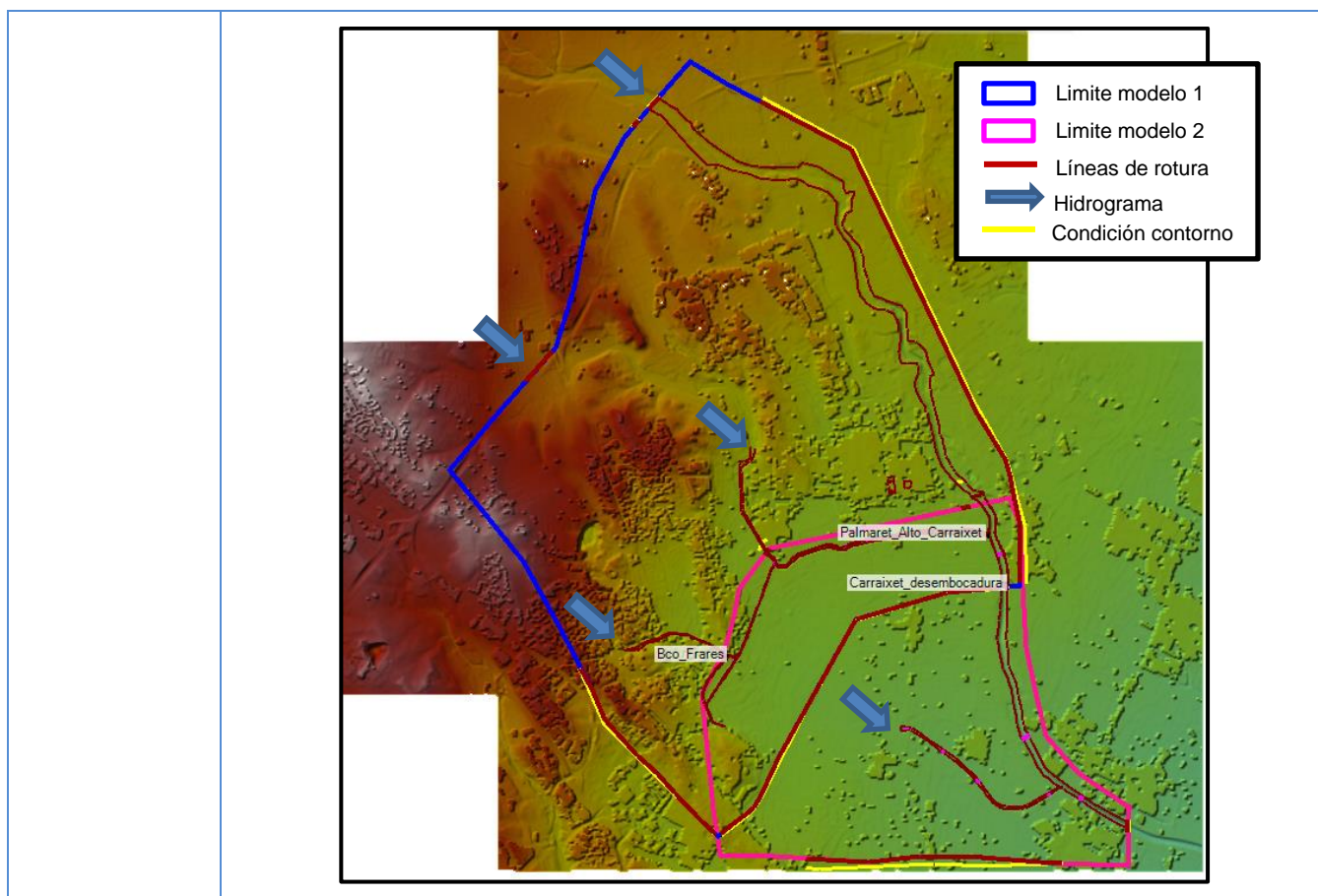
### Topología



**ARPSI**
**ES080-0021 – Barrancos de Carraixet, Palmaret Alto, Palmaret Bajo y Frares**

HIDROLOGÍA	Modelo utilizado	Caudales punta																																		
	TETIS (UPV)	<table border="1"> <thead> <tr> <th>T (años)</th> <th>Frares (m3/s)</th> <th>Carraixet (m3/s)</th> <th>Palmaret Alto (m3/s)</th> <th>Palmaret Bajo (m3/s)</th> </tr> </thead> <tbody> <tr> <td><b>MCO</b></td> <td>7.82</td> <td>155.2</td> <td>6</td> <td>5</td> </tr> <tr> <td><b>10</b></td> <td>8.64</td> <td>177</td> <td>10</td> <td>9</td> </tr> <tr> <td><b>25</b></td> <td>11.2</td> <td>276</td> <td>14</td> <td>11</td> </tr> <tr> <td><b>50</b></td> <td>13.38</td> <td>330</td> <td>19</td> <td>13</td> </tr> <tr> <td><b>100</b></td> <td>19.39</td> <td>340</td> <td>29</td> <td>21</td> </tr> <tr> <td><b>500</b></td> <td>33.41</td> <td>498</td> <td>43</td> <td>32</td> </tr> </tbody> </table> <p><i>Nota: estos caudales hidrológicos sirven de base para la obtención de los caudales máximos del modelo hidráulico.</i></p>	T (años)	Frares (m3/s)	Carraixet (m3/s)	Palmaret Alto (m3/s)	Palmaret Bajo (m3/s)	<b>MCO</b>	7.82	155.2	6	5	<b>10</b>	8.64	177	10	9	<b>25</b>	11.2	276	14	11	<b>50</b>	13.38	330	19	13	<b>100</b>	19.39	340	29	21	<b>500</b>	33.41	498	43
T (años)	Frares (m3/s)	Carraixet (m3/s)	Palmaret Alto (m3/s)	Palmaret Bajo (m3/s)																																
<b>MCO</b>	7.82	155.2	6	5																																
<b>10</b>	8.64	177	10	9																																
<b>25</b>	11.2	276	14	11																																
<b>50</b>	13.38	330	19	13																																
<b>100</b>	19.39	340	29	21																																
<b>500</b>	33.41	498	43	32																																

HIDRÁULICA	Modelo utilizado	Modelo digital del terreno	Elementos de la modelación
	HEC-HMS (USACE)	LIDAR PNOA con supresión de obstáculos y puntos anómalos. Tamaño de celda 1x1.	Refinamientos de la malla en cauces y motas. Líneas de rotura en márgenes de los cauces, vías y estructuras. Manzanas introducidas como islas y edificios como huecos. Obras de drenaje y puentes (topografía clásica en campo)
<b>Topología</b>			Dos modelos hidráulicos diferenciando la zona urbana (perímetro azul) y la zona rural (perímetro magenta). Los hidrogramas de entrada en la zona rural son hidrogramas de salida de la zona urbana.



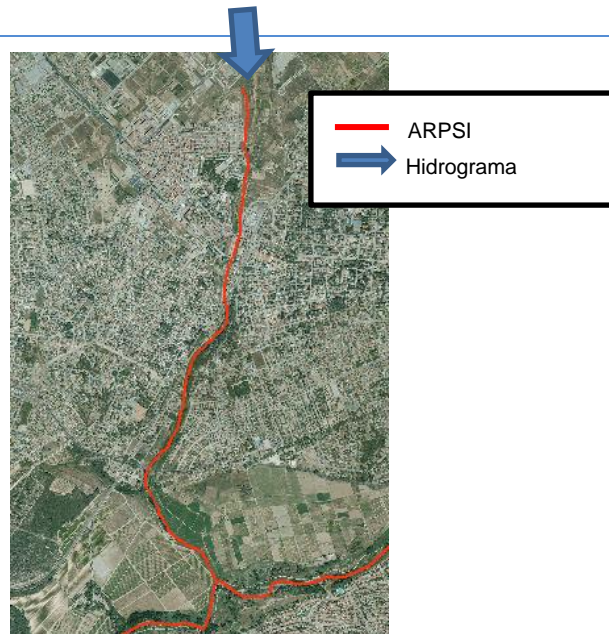
**ARPSI**                      **ES080-0022\_10 – Barranco del Mandor / Arroyo de la Granolera**

<b>HIDROLOGÍA</b>	<b>Modelo utilizado</b>	<b>Caudales punta</b>													
	MÉTODO RACIONAL 1er Ciclo	<table border="1"> <thead> <tr> <th>T (años)</th> <th>Caudal punta (m³/s)</th> </tr> </thead> <tbody> <tr> <td>MCO</td> <td>2</td> </tr> <tr> <td>10</td> <td>16</td> </tr> <tr> <td>25</td> <td>192</td> </tr> <tr> <td>50</td> <td>277</td> </tr> <tr> <td>100</td> <td>366</td> </tr> <tr> <td>500</td> <td>620</td> </tr> </tbody> </table>	T (años)	Caudal punta (m³/s)	MCO	2	10	16	25	192	50	277	100	366	500
T (años)	Caudal punta (m³/s)														
MCO	2														
10	16														
25	192														
50	277														
100	366														
500	620														

<b>HIDRÁULICA</b>	<b>Modelo utilizado</b>	<b>Modelo digital del terreno</b>	<b>Elementos de la modelación</b>
	INFOWORKS RS	MDT PROCEDENTE IGN PNOA.	2X2 LIDAR

Líneas de rotura en márgenes de los cauces, vías y estructuras.  
Obras de drenaje y puentes (topografía clásica en campo)

**Topología**



**ARPSI** **ES080-0022\_09 – Barranco de la Fuente (Paterna)**

HIDROLOGÍA	Modelo utilizado	Caudales punta				
	HEC-HMS (USACE)	<b>T (años)</b>	<b>Fuente (m³/s)</b>	<b>Travessat (m³/s)</b>	<b>Endolsa (m³/s)</b>	<b>Turia (m)</b>
<b>MCO</b>		52.7	19.0	33.0	-	
<b>10</b>		74.0	26.3	46.6	-	
<b>25</b>		106.7	37.7	65.4	-	
<b>50</b>		121.9	42.9	74.7	-	
<b>100</b>		161.8	56.5	101.1	-	
<b>500</b>		235.0	81.2	140.1	6	

HIDRÁULICA	Modelo utilizado	Modelo digital del terreno	Elementos de la modelación
	HEC-RAS 2D (USACE)		LIDAR PNOA con supresión de obstáculos y puntos anómalos. Tamaño de celda 0.2x0.2. Edificios incluidos en el MDT. Corrección del encauzamiento en el barranco de Endolsa.
<b>Topología</b>			
<p>Mapa de topología del barranco de la Fuente en Paterna. El mapa muestra el curso del río con varias estructuras y obras de drenaje marcadas. Se indican puntos de salida de agua normal y un calado impuesto. Una leyenda define los símbolos: Área de cálculo (línea blanca), Refinamiento (línea rosa), Cond. de contorno (flecha azul), Estructuras (rectángulo azul), Poblaciones (área gris).</p>			

**ARPSI**      **ES080-0014 (Barrancos de Picassent, Realón y Garroferal) y ES080-0022 (Barrancos de Poyo, Saleta y Gallego)**

HIDROLOGÍA	Modelo utilizado	Caudales punta																																		
	TETIS (UPV)	<table border="1"> <thead> <tr> <th>T (años)</th> <th>Poyo A7 (m3/s)</th> <th>Saleta (m3/s)</th> <th>Poyo Pista de Silla (m3/s)</th> <th>Picassent-Beniparrell Pista de Silla (m3/s)</th> </tr> </thead> <tbody> <tr> <td>MCO</td> <td>112</td> <td>6</td> <td>226</td> <td>5</td> </tr> <tr> <td>10</td> <td>179</td> <td>18</td> <td>395</td> <td>28</td> </tr> <tr> <td>25</td> <td>212</td> <td>28</td> <td>430</td> <td>63</td> </tr> <tr> <td>50</td> <td>330</td> <td>46</td> <td>440</td> <td>83</td> </tr> <tr> <td>100</td> <td>458</td> <td>79</td> <td>530</td> <td>132</td> </tr> <tr> <td>500</td> <td>1200.0</td> <td>170</td> <td>1420.0</td> <td>450.0</td> </tr> </tbody> </table>	T (años)	Poyo A7 (m3/s)	Saleta (m3/s)	Poyo Pista de Silla (m3/s)	Picassent-Beniparrell Pista de Silla (m3/s)	MCO	112	6	226	5	10	179	18	395	28	25	212	28	430	63	50	330	46	440	83	100	458	79	530	132	500	1200.0	170	1420.0
T (años)	Poyo A7 (m3/s)	Saleta (m3/s)	Poyo Pista de Silla (m3/s)	Picassent-Beniparrell Pista de Silla (m3/s)																																
MCO	112	6	226	5																																
10	179	18	395	28																																
25	212	28	430	63																																
50	330	46	440	83																																
100	458	79	530	132																																
500	1200.0	170	1420.0	450.0																																

HIDRÁULICA	Modelo utilizado	Modelo digital del terreno	Elementos de la modelación
	Infoworks ICM	LIDAR PNOA con supresión de obstáculos y puntos anómalos. Tamaño de celda 1x1.	Refinamientos de la malla en cauces y motas. Líneas de rotura en márgenes de los cauces, vías y estructuras. Manzanas introducidas como islas y edificios como huecos. Obras de drenaje y puentes (topografía clásica en campo)
<b>Topología</b>			



**ARPSI** **ES080-0014\_13 – Barranco del Tramusser**

<b>HIDROLOGÍA</b>	<b>Modelo utilizado</b>	<b>Caudales punta</b>														
	HEC-HMS (USACE) 1er Ciclo	<table border="1"> <thead> <tr> <th>T (años)</th> <th>Caudal punta (m³/s)</th> </tr> </thead> <tbody> <tr> <td><b>MCO</b></td> <td>11.6</td> </tr> <tr> <td><b>10</b></td> <td>39.9</td> </tr> <tr> <td><b>25</b></td> <td>97.8</td> </tr> <tr> <td><b>50</b></td> <td>135.1</td> </tr> <tr> <td><b>100</b></td> <td>193.1</td> </tr> <tr> <td><b>500</b></td> <td>367.4</td> </tr> </tbody> </table>	T (años)	Caudal punta (m³/s)	<b>MCO</b>	11.6	<b>10</b>	39.9	<b>25</b>	97.8	<b>50</b>	135.1	<b>100</b>	193.1	<b>500</b>	367.4
T (años)	Caudal punta (m³/s)															
<b>MCO</b>	11.6															
<b>10</b>	39.9															
<b>25</b>	97.8															
<b>50</b>	135.1															
<b>100</b>	193.1															
<b>500</b>	367.4															

<b>HIDRÁULICA</b>	<b>Modelo utilizado</b>	<b>Modelo digital del terreno</b>	<b>Elementos de la modelación</b>
	HEC-RAS 2D (USACE)	LIDAR PNOA con supresión de obstáculos y puntos anómalos. Tamaño de celda 1x1. Edificios incluidos en el MDT. Corrección del encauzamiento.	Líneas de rotura en márgenes, vías y estructuras. Obras de drenaje y puentes (topografía clásica en campo).

**Topología**



**ARPSI** **ES080-0014\_20 – Barranco del Estret (Alzira)**

<b>HIDROLOGÍA</b>	<b>Modelo utilizado</b>	<b>Caudales punta</b>																				
	<i>Determinación de los niveles máximos admisibles en el río Júcar (CEDEX, 2002)</i>	<table border="1"> <thead> <tr> <th>T (años)</th> <th>Estret (m³/s)</th> <th>Casella (m³/s)</th> </tr> </thead> <tbody> <tr> <td>MCO</td> <td>34.0</td> <td>21.0</td> </tr> <tr> <td>10</td> <td>57.5</td> <td>35.2</td> </tr> <tr> <td>25</td> <td>99.6</td> <td>60.7</td> </tr> <tr> <td>50</td> <td>122.3</td> <td>74.5</td> </tr> <tr> <td>100</td> <td>186.3</td> <td>113.2</td> </tr> <tr> <td>500</td> <td>335.6</td> <td>203.3</td> </tr> </tbody> </table>	T (años)	Estret (m³/s)	Casella (m³/s)	MCO	34.0	21.0	10	57.5	35.2	25	99.6	60.7	50	122.3	74.5	100	186.3	113.2	500	335.6
T (años)	Estret (m³/s)	Casella (m³/s)																				
MCO	34.0	21.0																				
10	57.5	35.2																				
25	99.6	60.7																				
50	122.3	74.5																				
100	186.3	113.2																				
500	335.6	203.3																				

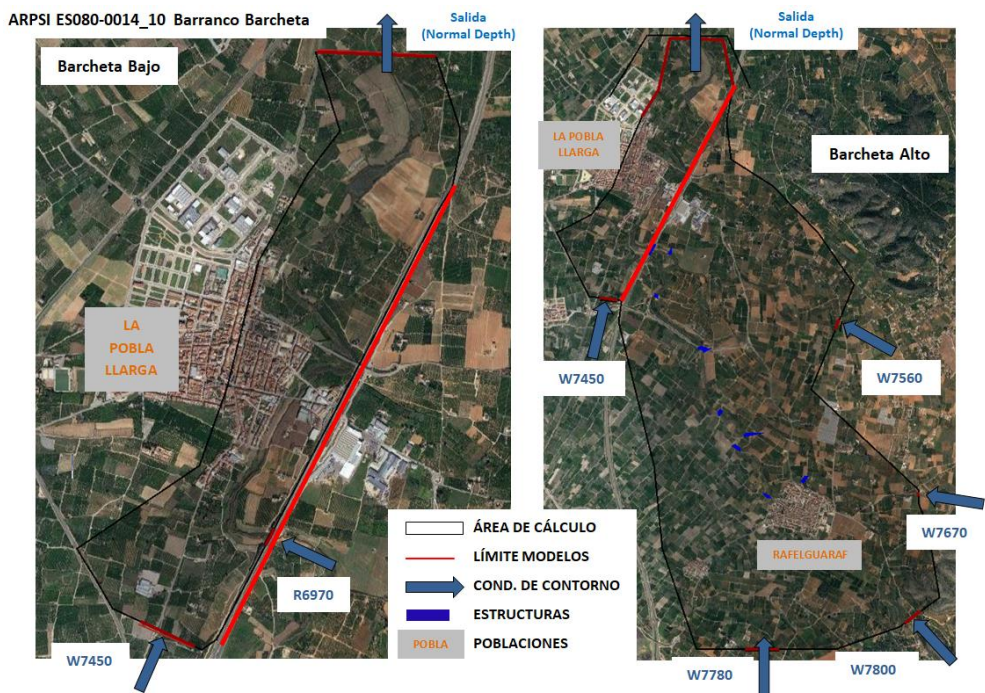
<b>HIDRÁULICA</b>	<b>Modelo utilizado</b>	<b>Modelo digital del terreno</b>	<b>Elementos de la modelación</b>
	HEC-RAS 2D (USACE)	LIDAR PNOA con supresión de obstáculos y puntos anómalos. Tamaño de celda 0.2x0.2. Edificios incluidos en el MDT. Inclusión de muros en las márgenes del cauce.	Líneas de rotura en muros, carreteras y estructuras. Obras de drenaje y puentes (topografía clásica en campo).
<b>Topología</b>			
<p>Salida (Normal Depth)</p> <p>ARPSI ES080-0014_06 Barranco Estrecho</p> <p>Perimeter 1</p> <p>M02</p> <p>M01</p> <p>P03</p> <p>P01</p> <p>P02</p> <p>Casella</p> <p>Estrecho</p> <p>         — ÁREA DE CÁLCULO          — LÍNEAS DE ROTURA          — COND. DE CONTORNO          — ESTRUCTURAS     </p>			

**ARPSI** **ES080-0014\_10 – Barranco de Barcheta (Pobla Llarga)**

<b>HIDROLOGÍA</b>	<b>Modelo utilizado</b>	<b>Caudales punta</b>																																																					
	HEC-HMS (USACE)	<table border="1"> <thead> <tr> <th>T (años)</th> <th>R6970 (m3/s)</th> <th>W7450 (m3/s)</th> <th>W7560 (m3/s)</th> <th>W7670 (m3/s)</th> <th>W7800 (m3/s)</th> <th>W7780 (m3/s)</th> </tr> </thead> <tbody> <tr> <td>MCO</td> <td>197.5</td> <td>32.3</td> <td>142.6</td> <td>86.2</td> <td>38.6</td> <td>55.1</td> </tr> <tr> <td>10</td> <td>256.6</td> <td>43.9</td> <td>186.9</td> <td>109.7</td> <td>50.0</td> <td>73.5</td> </tr> <tr> <td>25</td> <td>375.1</td> <td>68.1</td> <td>275.8</td> <td>155.9</td> <td>72.6</td> <td>111.1</td> </tr> <tr> <td>50</td> <td>478.1</td> <td>89.5</td> <td>353.0</td> <td>195.5</td> <td>92.1</td> <td>144.0</td> </tr> <tr> <td>100</td> <td>582.9</td> <td>111.5</td> <td>431.5</td> <td>235.3</td> <td>111.8</td> <td>177.7</td> </tr> <tr> <td>500</td> <td>861.4</td> <td>170.9</td> <td>639.5</td> <td>339.6</td> <td>163.9</td> <td>267.7</td> </tr> </tbody> </table>	T (años)	R6970 (m3/s)	W7450 (m3/s)	W7560 (m3/s)	W7670 (m3/s)	W7800 (m3/s)	W7780 (m3/s)	MCO	197.5	32.3	142.6	86.2	38.6	55.1	10	256.6	43.9	186.9	109.7	50.0	73.5	25	375.1	68.1	275.8	155.9	72.6	111.1	50	478.1	89.5	353.0	195.5	92.1	144.0	100	582.9	111.5	431.5	235.3	111.8	177.7	500	861.4	170.9	639.5	339.6	163.9	267.7				
T (años)	R6970 (m3/s)	W7450 (m3/s)	W7560 (m3/s)	W7670 (m3/s)	W7800 (m3/s)	W7780 (m3/s)																																																	
MCO	197.5	32.3	142.6	86.2	38.6	55.1																																																	
10	256.6	43.9	186.9	109.7	50.0	73.5																																																	
25	375.1	68.1	275.8	155.9	72.6	111.1																																																	
50	478.1	89.5	353.0	195.5	92.1	144.0																																																	
100	582.9	111.5	431.5	235.3	111.8	177.7																																																	
500	861.4	170.9	639.5	339.6	163.9	267.7																																																	

<b>HIDRÁULICA</b>	<b>Modelo utilizado</b>	<b>Modelo digital del terreno</b>	<b>Elementos de la modelación</b>
	HEC-RAS 2D (USACE)	LIDAR PNOA con supresión de obstáculos y puntos anómalos. Tamaño de celda 0.2x0.2. Edificios incluidos en el MDT. Corrección del cauce para aumentar su precisión.	Refinamiento de la malla en la zona urbana. Obras de drenaje y puentes (topografía clásica en campo). 2 modelos hidráulicos.

**Topología**



El mapa de calados máximos del río Júcar se ha obtenido de los siguientes estudios:

- Para  $T = 10$  años se ha utilizado el modelo GISPLANA del CEDEX
- Para  $T = 100$  y  $500$  años se han utilizado los modelos hidráulicos elaborados por INCLAM en el marco de dos contratos para la Confederación Hidrográfica del Júcar:
  - Proyecto de construcción del Acondicionamiento del río Júcar entre Carcaixent y la Autopista A-7 (Valencia) (2011)
  - Proyecto de construcción de mejora del drenaje del Marjal del Sur del Río Júcar. T.M. Alcira, Cullera y otros (Valencia) (2011)

La hidrología procede del estudio del Cedex *Estudio y dimensionamiento de actuaciones estructurales de defensa y zonificación de la llanura de inundación del río Júcar (2006)* con la excepción de:

- el río Canyoles, cuya hidrología se modelizó con un nuevo HMS específico para los 2 proyectos de construcción y con las hipótesis de cálculo del estudio de detalle, en situación actual, que en paralelo estaba elaborando la CHJ: *Estudio de viabilidad técnica y medioambiental y caracterización de las soluciones de la presa de Montesa TT.MM. de Montesa y Vallada (provincia de Valencia) (2008)*.
- El modelo 05Casella donde los caudales de las distintas ramblas (cuencas del Barcheta y del Casella) se calcularon con HMS.

HIDROLOGÍA	Modelo utilizado	Caudales punta																																																			
	CEDEX HMS	<table border="1"> <thead> <tr> <th colspan="6">Modelo Nº 1 Albaida-Albalat (caudales en m<sup>3</sup>/s)</th> </tr> <tr> <th>Entrada</th> <th>T =25</th> <th>T = 50</th> <th>T =100</th> <th>T =250</th> <th>T =500</th> </tr> </thead> <tbody> <tr> <td>Júcar con Sellent y Albaida</td> <td>894</td> <td>1.549</td> <td>2.179</td> <td>3.189</td> <td>3.906</td> </tr> <tr> <td>Verde</td> <td>214</td> <td>320</td> <td>502</td> <td>772</td> <td>1.015</td> </tr> <tr> <td>Magro</td> <td>273</td> <td>410</td> <td>582</td> <td>885</td> <td>1.119</td> </tr> <tr> <td>Murta</td> <td>36</td> <td>54</td> <td>75</td> <td>110</td> <td>137</td> </tr> <tr> <td>Casella y afluentes</td> <td>120</td> <td>180</td> <td>252</td> <td>363</td> <td>462</td> </tr> <tr> <td>Barxeta</td> <td>189</td> <td>285</td> <td>399</td> <td>581</td> <td>742</td> </tr> </tbody> </table>					Modelo Nº 1 Albaida-Albalat (caudales en m <sup>3</sup> /s)						Entrada	T =25	T = 50	T =100	T =250	T =500	Júcar con Sellent y Albaida	894	1.549	2.179	3.189	3.906	Verde	214	320	502	772	1.015	Magro	273	410	582	885	1.119	Murta	36	54	75	110	137	Casella y afluentes	120	180	252	363	462	Barxeta	189	285	399	581
Modelo Nº 1 Albaida-Albalat (caudales en m <sup>3</sup> /s)																																																					
Entrada	T =25	T = 50	T =100	T =250	T =500																																																
Júcar con Sellent y Albaida	894	1.549	2.179	3.189	3.906																																																
Verde	214	320	502	772	1.015																																																
Magro	273	410	582	885	1.119																																																
Murta	36	54	75	110	137																																																
Casella y afluentes	120	180	252	363	462																																																
Barxeta	189	285	399	581	742																																																

Modelo Nº2 Albalat-Mar (caudales en m³/s)					
Entrada	T =25	T = 50	T =100	T =250	T =500
Entrada 1 (AP-7)	0	21	64	181	313
Entrada 2 (AP-7)	0	29	46	159	227
Entrada 3 (AP-7)	0	22	52	148	174
Entrada 4 (AP-7)	0	0	51	132	151
Júcar	828	950	1.143	1.438	1.693
Marjal 1	10	86	278	585	758
Marjal 2	165	335	575	803	920

Modelo Nº 3 Albufera (caudales en m³/s)					
Entrada	T =25	T = 50	T =100	T =250	T =500
Entrada 1 (AP-7)	0	21	64	171	313
Entrada 2 (AP-7)	0	29	46	149	227
Entrada 3 (AP-7)	0	22	52	138	174
Entrada 4 (AP-7)	0	0	51	132	151
A través de la CV-515	0	107	209	347	474
Resto de entradas	0	0	161	282	411

Modelo Nº 5 Casella (caudales en m³/s)					
Entrada	T =25	T = 50	T =100	T =250	T =500
Pau	37	53	72	93	111
Gaianes	32	46	62	82	97
San Antonio	8	11	15	20	23.2
Venancio	10	15	20	26	31
Vilella	19	30	44	60	84
Estret	135	193	261	339	456
Casella	62	94	132	177	246

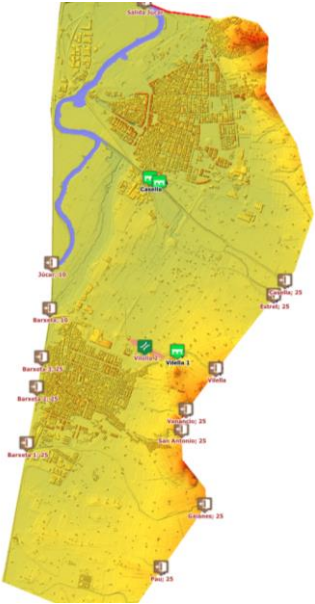
Modelo Nº 4 Marjal-Vaca (caudales en m³/s)					
Entrada	T =25	T = 50	T =100	T =250	T =500
A través de la N-332	66	458	893	1.417	1.809
Desde M. Der. de Júcar	53	67	69	70	70

Modelo Nº 6 Estany (caudales en m³/s)					
Entrada	T =25	T = 50	T =100	T =250	T =500
Entrada al Estany	0	21	64	171	313

HIDRÁULICA	Modelo utilizado	Modelo digital del terreno	Elementos de la modelación
	GUAD 2D	Modelo 1: Albaida - Albalat	<ul style="list-style-type: none"> <li>- Modelo de terreno 6m de celda (2159 x 2317 celdas)</li> <li>- 6 hidrogramas de entrada</li> </ul>

	<p>(INCLAM, 2010)</p>		
	<p>Modelo 2: Albalat – mar</p>		<ul style="list-style-type: none"> <li>– Modelo 6m de celda.(2663 x 1887 celdas)</li> <li>– 6 hidrogramas de entrada correspondientes a 6 salidas del modelo anterior</li> </ul>
	<p>Modelo 3: marjal – Vaca</p>		<ul style="list-style-type: none"> <li>– Modelo 6m de celda (1961 x 2196 celdas)</li> <li>– 2 hidrogramas de entrada correspondientes a salidas del modelo anterior</li> </ul>
	<p>Modelo 4: Albufera</p>		<ul style="list-style-type: none"> <li>– Modelo 6m de celda (1187 x 1436 celdas).</li> </ul>
	<p>Modelo 5: Casella</p>		<ul style="list-style-type: none"> <li>– Modelo 2 m de celda. (3.305 x 1.891 celdas)</li> <li>– 7 hidrogramas de entrada más Barcheta y Júcar a caudal constante.</li> <li>– 4 condiciones de salida (Q-h)</li> <li>– 3 puentes</li> <li>– 1 tramo cubierto</li> </ul>

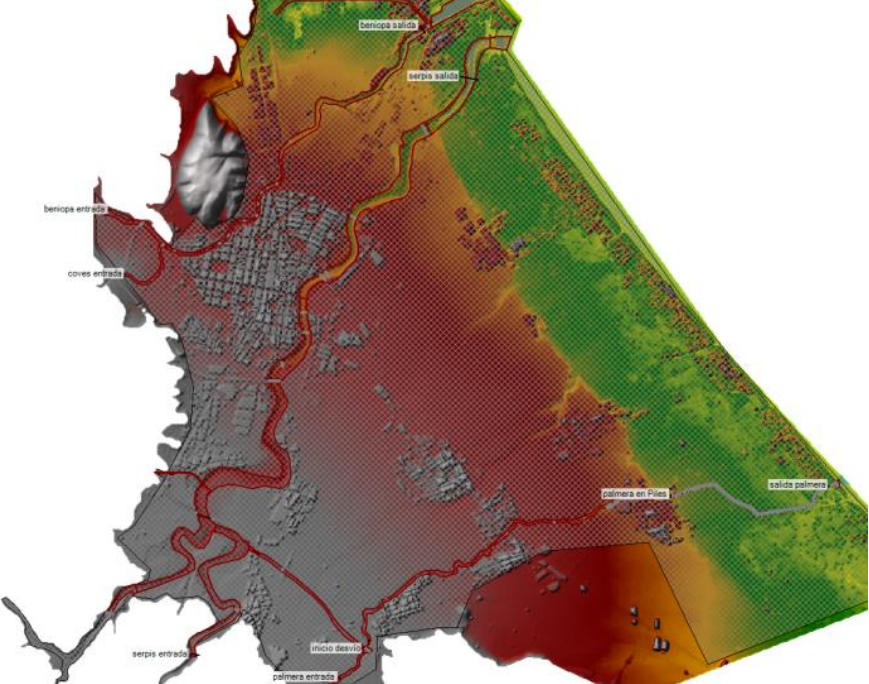
		 Un mapa de inundación que muestra un área geográfica con una red de calles y un río. El mapa utiliza una escala de colores que va desde el amarillo (menor riesgo) hasta el rojo (mayor riesgo). Se ven varias etiquetas de puntos de interés como 'Estany', 'Barrio 1', 'Barrio 2', etc. El río fluye desde el norte hacia el sur.		
		<p>Modelo 6: Estany</p>		<p>– Modelo 1 m de celda. (1.519 x 2.535 celdas)</p>

**ARPSI**      **ES080-12 – Ríos Serpis y Vernissa, barrancos de Beniopa y Piles\***

<b>HIDROLOGÍA</b>	<b>Modelo utilizado</b>	<b>Caudales punta</b>																																						
	Proyectos constructivos de Acuamed	<table border="1"> <thead> <tr> <th>T (años)</th> <th>Vernissa Tramo Palma (m³/s)</th> <th>Palma de Gandía (m³/s)</th> <th>Serpis (m³/s)</th> <th>Piles o Palmera (m³/s)</th> </tr> </thead> <tbody> <tr> <td><b>MCO</b></td> <td>84</td> <td>29</td> <td>114</td> <td>26</td> </tr> <tr> <td><b>10</b></td> <td>137</td> <td>46</td> <td>219</td> <td>42</td> </tr> <tr> <td><b>25</b></td> <td>279</td> <td>81</td> <td>564</td> <td>80</td> </tr> <tr> <td><b>50</b></td> <td>413</td> <td>121</td> <td>923</td> <td>114</td> </tr> <tr> <td><b>100</b></td> <td>580</td> <td>159</td> <td>1620</td> <td>154</td> </tr> <tr> <td><b>500</b></td> <td>1060</td> <td>274</td> <td>3605</td> <td>260</td> </tr> </tbody> </table>	T (años)	Vernissa Tramo Palma (m³/s)	Palma de Gandía (m³/s)	Serpis (m³/s)	Piles o Palmera (m³/s)	<b>MCO</b>	84	29	114	26	<b>10</b>	137	46	219	42	<b>25</b>	279	81	564	80	<b>50</b>	413	121	923	114	<b>100</b>	580	159	1620	154	<b>500</b>	1060	274	3605	260			
		T (años)	Vernissa Tramo Palma (m³/s)	Palma de Gandía (m³/s)	Serpis (m³/s)	Piles o Palmera (m³/s)																																		
<b>MCO</b>	84	29	114	26																																				
<b>10</b>	137	46	219	42																																				
<b>25</b>	279	81	564	80																																				
<b>50</b>	413	121	923	114																																				
<b>100</b>	580	159	1620	154																																				
<b>500</b>	1060	274	3605	260																																				
<table border="1"> <thead> <tr> <th>T (años)</th> <th>Camí vell de Xativa Real de Palma (m³/s)</th> <th>Coves (m³/s)</th> <th>Beniopa (m³/s)</th> </tr> </thead> <tbody> <tr> <td><b>MCO</b></td> <td>5</td> <td>8</td> <td>46</td> </tr> <tr> <td><b>10</b></td> <td>8</td> <td>13</td> <td>74</td> </tr> <tr> <td><b>25</b></td> <td>16</td> <td>26</td> <td>142</td> </tr> <tr> <td><b>50</b></td> <td>22</td> <td>36</td> <td>204</td> </tr> <tr> <td><b>100</b></td> <td>33</td> <td>48</td> <td>271</td> </tr> <tr> <td><b>500</b></td> <td>49</td> <td>81</td> <td>471</td> </tr> </tbody> </table>	T (años)	Camí vell de Xativa Real de Palma (m³/s)	Coves (m³/s)	Beniopa (m³/s)	<b>MCO</b>	5	8	46	<b>10</b>	8	13	74	<b>25</b>	16	26	142	<b>50</b>	22	36	204	<b>100</b>	33	48	271	<b>500</b>	49	81	471												
T (años)	Camí vell de Xativa Real de Palma (m³/s)	Coves (m³/s)	Beniopa (m³/s)																																					
<b>MCO</b>	5	8	46																																					
<b>10</b>	8	13	74																																					
<b>25</b>	16	26	142																																					
<b>50</b>	22	36	204																																					
<b>100</b>	33	48	271																																					
<b>500</b>	49	81	471																																					

<b>HIDRÁULICA</b>	<b>Modelo utilizado</b>	<b>Modelo digital del terreno</b>	<b>Elementos de la modelación</b>
-------------------	-------------------------	-----------------------------------	-----------------------------------

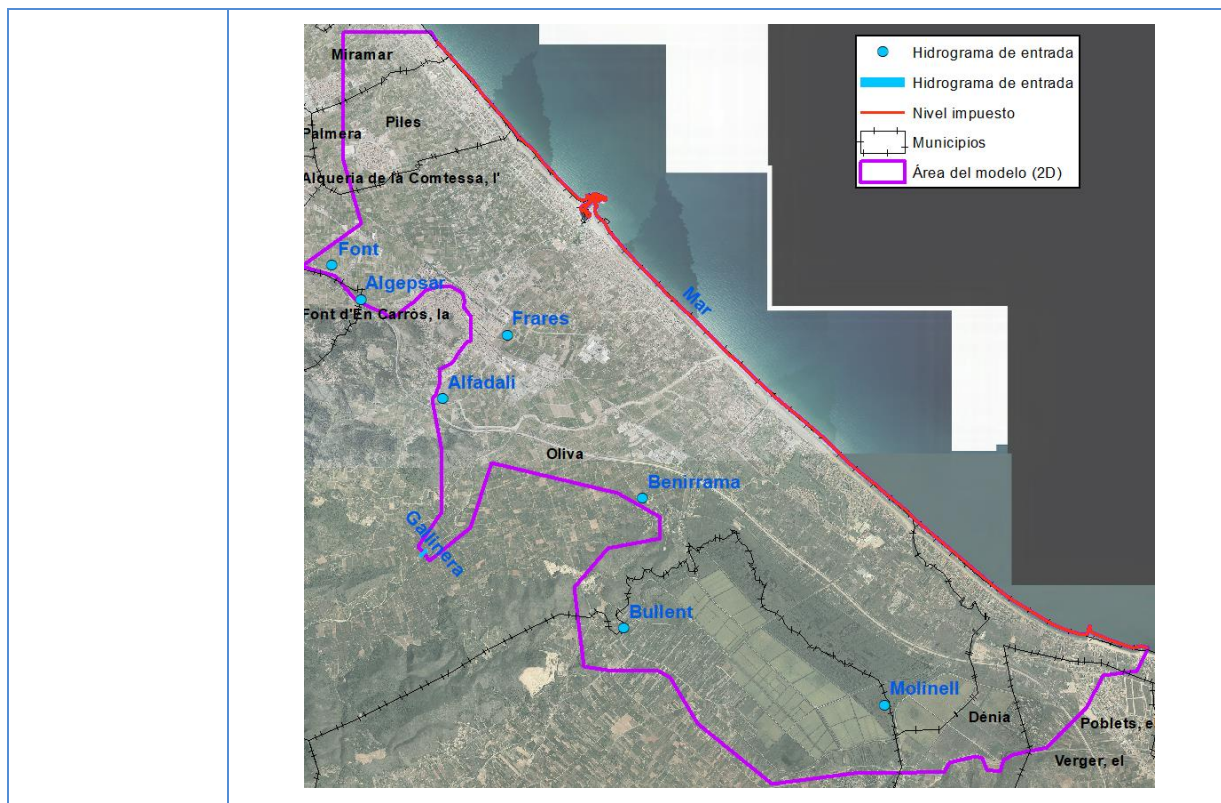


	<p>HEC-RAS 2D (USACE)</p>	<p>LIDAR PNOA con supresión de obstáculos y puntos anómalos. Tamaño de celda 1x1. Edificios incluidos en el MDT. Ampliación en una zona puntual.</p>	<p>Refinamiento de la malla en cauces. Líneas de rotura en márgenes, vías, estructuras y edificios. Obras de drenaje y puentes (topografía clásica en campo).</p>
<p><b>Topología</b></p>			
 <p>The image is a topographic map of a river basin. The terrain is color-coded by elevation, with red and orange representing higher elevations and green representing lower elevations. A network of red lines represents the river channels. Several specific points are labeled with text boxes: 'beniopa salida' at the top center, 'serpis salida' to its right, 'beniopa entrada' on the left side, 'coves entrada' below it, 'serpis entrada' at the bottom left, 'inicio deavio' at the bottom center, 'palmera entrada' at the bottom right, 'camera en Piles' on the right side, and 'salida palmera' at the far right edge. The map shows a complex network of channels and a central urban area.</p>			

<b>ARPSI</b>	<b>ES080-0011 – Barranco de la Font, rambla Gallinera, río Alfadalí, ríos Vedat, Revolta y Roller</b>
--------------	---


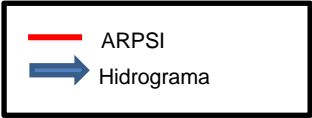
<b>HIDROLOGÍA</b>	<b>Modelo utilizado</b>	<b>Caudales punta</b>																																																																					
	Proyectos constructivos de Acuamed. Hidrología del Modelo Hidráulico bidimensional de las zonas inundables de los cauces del río Serpis, Rambla de la Gallinera, Río Bullent y Río Molinell (Acuamed 2010)	<table border="1"> <thead> <tr> <th>T (años)</th> <th>Fonts (m³/s)</th> <th>Algepsar (m³/s)</th> <th>Frares (m³/s)</th> <th>Alfadalí (m³/s)</th> </tr> </thead> <tbody> <tr> <td><b>MCO</b></td> <td>31.5</td> <td>3.4</td> <td>2.2</td> <td>10.8</td> </tr> <tr> <td><b>10</b></td> <td>38.9</td> <td>4.2</td> <td>2.7</td> <td>16.3</td> </tr> <tr> <td><b>25</b></td> <td>54.3</td> <td>6.4</td> <td>4.1</td> <td>23.1</td> </tr> <tr> <td><b>50</b></td> <td>75.1</td> <td>8.4</td> <td>5.1</td> <td>29.2</td> </tr> <tr> <td><b>100</b></td> <td>107.5</td> <td>10.9</td> <td>7.3</td> <td>38.3</td> </tr> <tr> <td><b>500</b></td> <td>186.1</td> <td>23.1</td> <td>15.7</td> <td>92.7</td> </tr> </tbody> </table> <table border="1"> <thead> <tr> <th>T (años)</th> <th>Gallinera (m³/s)</th> <th>Benirrama (m³/s)</th> <th>Bullent (m³/s)</th> <th>Molinell (m³/s)</th> </tr> </thead> <tbody> <tr> <td><b>MCO</b></td> <td>123.2</td> <td>5.4</td> <td>42.0</td> <td>29.9</td> </tr> <tr> <td><b>10</b></td> <td>199.0</td> <td>10.4</td> <td>70.9</td> <td>56.7</td> </tr> <tr> <td><b>25</b></td> <td>283.1</td> <td>15.8</td> <td>102.3</td> <td>84.4</td> </tr> <tr> <td><b>50</b></td> <td>359.0</td> <td>21.0</td> <td>131.9</td> <td>110.3</td> </tr> <tr> <td><b>100</b></td> <td>462.6</td> <td>28.3</td> <td>172.8</td> <td>146.3</td> </tr> <tr> <td><b>500</b></td> <td>1024.9</td> <td>62.5</td> <td>398.8</td> <td>317.6</td> </tr> </tbody> </table>	T (años)	Fonts (m³/s)	Algepsar (m³/s)	Frares (m³/s)	Alfadalí (m³/s)	<b>MCO</b>	31.5	3.4	2.2	10.8	<b>10</b>	38.9	4.2	2.7	16.3	<b>25</b>	54.3	6.4	4.1	23.1	<b>50</b>	75.1	8.4	5.1	29.2	<b>100</b>	107.5	10.9	7.3	38.3	<b>500</b>	186.1	23.1	15.7	92.7	T (años)	Gallinera (m³/s)	Benirrama (m³/s)	Bullent (m³/s)	Molinell (m³/s)	<b>MCO</b>	123.2	5.4	42.0	29.9	<b>10</b>	199.0	10.4	70.9	56.7	<b>25</b>	283.1	15.8	102.3	84.4	<b>50</b>	359.0	21.0	131.9	110.3	<b>100</b>	462.6	28.3	172.8	146.3	<b>500</b>	1024.9	62.5	398.8
T (años)	Fonts (m³/s)	Algepsar (m³/s)	Frares (m³/s)	Alfadalí (m³/s)																																																																			
<b>MCO</b>	31.5	3.4	2.2	10.8																																																																			
<b>10</b>	38.9	4.2	2.7	16.3																																																																			
<b>25</b>	54.3	6.4	4.1	23.1																																																																			
<b>50</b>	75.1	8.4	5.1	29.2																																																																			
<b>100</b>	107.5	10.9	7.3	38.3																																																																			
<b>500</b>	186.1	23.1	15.7	92.7																																																																			
T (años)	Gallinera (m³/s)	Benirrama (m³/s)	Bullent (m³/s)	Molinell (m³/s)																																																																			
<b>MCO</b>	123.2	5.4	42.0	29.9																																																																			
<b>10</b>	199.0	10.4	70.9	56.7																																																																			
<b>25</b>	283.1	15.8	102.3	84.4																																																																			
<b>50</b>	359.0	21.0	131.9	110.3																																																																			
<b>100</b>	462.6	28.3	172.8	146.3																																																																			
<b>500</b>	1024.9	62.5	398.8	317.6																																																																			

<b>HIDRÁULICA</b>	<b>Modelo utilizado</b>	<b>Modelo digital del terreno</b>	<b>Elementos de la modelación</b>
	Infoworks ICM	LIDAR PNOA con supresión de obstáculos y puntos anómalos. Tamaño de celda 1x1.	Refinamientos de la malla en cauces y motas. Líneas de rotura en márgenes de los cauces, vías y estructuras. Manzanas introducidas como islas y edificios como huecos. Obras de drenaje y puentes (topografía clásica en campo)
<b>Topología</b>			



**ARPSI** **ES080-0002\_02 – Barranco San Antón**

<b>HIDROLOGÍA</b>	<b>Modelo utilizado</b>	<b>Caudales punta</b>													
	MÉTODO RACIONAL 1er Ciclo	<table border="1"> <thead> <tr> <th>T (años)</th> <th>Caudal punta (m³/s)</th> </tr> </thead> <tbody> <tr> <td>MCO</td> <td>8</td> </tr> <tr> <td>10</td> <td>12</td> </tr> <tr> <td>25</td> <td>26</td> </tr> <tr> <td>50</td> <td>38</td> </tr> <tr> <td>100</td> <td>51</td> </tr> <tr> <td>500</td> <td>92</td> </tr> </tbody> </table>	T (años)	Caudal punta (m³/s)	MCO	8	10	12	25	26	50	38	100	51	500
T (años)	Caudal punta (m³/s)														
MCO	8														
10	12														
25	26														
50	38														
100	51														
500	92														

<b>HIDRÁULICA</b>	<b>Modelo utilizado</b>	<b>Modelo digital del terreno</b>	<b>Elementos de la modelación</b>
	INFOWORKS RS	MDT 2X2 PROCEDENTE LIDAR IGN PNOA.	Líneas de rotura en márgenes de los cauces, vías y estructuras. Obras de drenaje y puentes (topografía clásica en campo)
	<b>Topología</b>		
			

**ARPSI** **ES080-0002\_03 – Barranco del Grifo**

<b>HIDROLOGÍA</b>	<b>Modelo utilizado</b>	<b>Caudales punta</b>													
	MÉTODO RACIONAL 1er Ciclo	<table border="1" style="margin-left: auto; margin-right: auto;"> <thead> <tr> <th style="text-align: center;">T (años)</th> <th style="text-align: center;">Caudal punta (m³/s)</th> </tr> </thead> <tbody> <tr> <td style="text-align: center;"><b>MCO</b></td> <td style="text-align: center;">6</td> </tr> <tr> <td style="text-align: center;"><b>10</b></td> <td style="text-align: center;">11</td> </tr> <tr> <td style="text-align: center;"><b>25</b></td> <td style="text-align: center;">27</td> </tr> <tr> <td style="text-align: center;"><b>50</b></td> <td style="text-align: center;">38</td> </tr> <tr> <td style="text-align: center;"><b>100</b></td> <td style="text-align: center;">54</td> </tr> <tr> <td style="text-align: center;"><b>500</b></td> <td style="text-align: center;">103</td> </tr> </tbody> </table>	T (años)	Caudal punta (m³/s)	<b>MCO</b>	6	<b>10</b>	11	<b>25</b>	27	<b>50</b>	38	<b>100</b>	54	<b>500</b>
T (años)	Caudal punta (m³/s)														
<b>MCO</b>	6														
<b>10</b>	11														
<b>25</b>	27														
<b>50</b>	38														
<b>100</b>	54														
<b>500</b>	103														

<b>HIDRÁULICA</b>	<b>Modelo utilizado</b>	<b>Modelo digital del terreno</b>	<b>Elementos de la modelación</b>
	INFOWORKS RS	MDT 2X2 PROCEDENTE LIDAR IGN PNOA.	Líneas de rotura en márgenes de los cauces, vías y estructuras. Obras de drenaje y puentes (topografía clásica en campo)

**Topología**

